

EN.VD

به دام خواوند، معمال

دانشکده مواد

۱۳۸۲ / ۸ / ۳۰

تأثیر دمای زیترینگ بر ریزساختار و خواص مغناطیسی آهنربای  
دارای عنصر افزودنی Ge-Nd-Fe-B

علی فلاح شیخلری

پایان نامه کارشناسی ارشد در رشته  
مهندسی مواد - شناسایی و انتخاب مواد مهندسی

اساتید راهنما :

دکتر حسین عربی

دکتر علی بیت‌اللهی

آذر ۱۳۸۱

۴۸.۷۸

تقدیم به

پدرم ، که همواره در مسیر زندگی رهنمای راهم بوده

و

مادرم ، که گرمای وجودم از دامان پر مهر اوست

و

همسرم ، که نقش عشق را در وجودم حک کرد

چکیده:

آهنرباهاي دانمي Nd-Fe-B ماکریم انژری تولیدی بالای داشته و توسط فرآیندهای مختلفی مانند پرس داغ، زیترنگ، ایجاد اتصال پلیمری پودر Nd-Fe-B و غیره تولید می شوند [1]. در این تحقیق، فرآیند زیترنگ در دماهای مختلف روی پودر آلیاژی  $Nd_{12.9}Fe_{80.5}B_{6.6}$  جهت تولید آهنربای زینتری Nd-Fe-B انجام گرفت. سپس تأثیر دمای زیترنگ بر ساختار، ریزساختار و خواص مغناطیسی آهنربای Nd-Fe-B با ترکیب استوکیومتری  $1\text{wt\% Ge}$  با و بدون افزودنی  $Nd_{12.9}Fe_{80.5}B_{6.6}$  مورد بررسی قرار گرفت. در ابتدا پودرهای  $Nd_{12.9}Fe_{80.5}B_{6.6}$  همراه با مایع سیکلوهگزان در جار فولاد زنگ نزن با گلوله‌های فولاد سخت شده به مدت ۸ ساعت آسیاب شد. سپس پودرهای خشک شده و توسط پرس تکجهتی تحت فشار  $10 \text{ ton/cm}^2$  پرس شدند. آنگاه نمونه‌های پرس شده در دماهای  $100^\circ\text{C}$ ,  $105^\circ\text{C}$ ,  $110^\circ\text{C}$  و  $115^\circ\text{C}$  تحت گاز محافظ آرگون به مدت  $1/5$  ساعت زیتر شدند. روش‌های اندازه‌گیری مختلفی مانند X-Ray Vibrating Sample, EDXA-SEM, Diffraction میکروساختی، سنجش خواص مغناطیسی و Magnetometer و تعیین دانسته زیترنگ، روی نمونه‌ها انجام گرفت. نتیجه آنالیز XRD بیانگر وجود فازهای  $\alpha$ -Fe و  $\phi$  می‌باشد. عدم تغییر ثوابت شبکه فاز تراگونال  $\phi$  بر اثر اتحلال عنصر Ge نسبت به نمونه‌های فاقد Ge بیانگر اتحلال جزئی عنصر Ge در فاز  $\phi$  است. نتیجه آنالیزهای EDXA-SEM و X-Ray Mapping بیانگر اتحلال عنصر Ge در فاز غنی از Nd در مرزدانه است. نیز با افزایش دمای زیترنگ در نمونه‌های با و بدون Ge، اندازه دانه بزرگ می‌شود و از طرف دیگر دانسته نمونه‌ها به خاطر افزایش فاز مایع، بیشتر می‌شود. بهترین خواص مغناطیسی در نمونه بدون Ge که در دمای  $110^\circ\text{C}$  زینتر شده است، بدست آمد.

تقدیر و تشکر:

از اساتید ارجمند جناب آقای دکتر بیت‌اللهی و جناب آقای دکتر عربی که با قبول زحمات فراوان و با توصیه‌های بی‌دریغشان راهگشای مشکلات این تحقیق بوده‌اند و مهمتر از آن چنگونه زیستن را به من آموختند، کمال تشکر و قدردانی را می‌نمایم.

علاوه بر این جا دارد از همکاری و زحمات سرکار خانم مهندس صالح‌پور مسئول دستگاه *SIM*، سرکار خانم پری‌پور مسئول دفتر ریاست دانشکده، آقای کریمی مسئول سایت کامپیوتر، آقای ساری، آقای مهرجو و آقای سعادت تقدیر و تشکر کنم.

در نهایت از سرکار خانم مرجان مرتضایی مقدم که با صبر و حوصله خویش ویرایش پروژه را بر عهده گرفتند و کلیه دوستانی که به نوعی در به انجام رسانیدن این پروژه یاریم دادند تشکر کنم.



۲۷	۱-۲-۲- انتخاب پودر آلیاژی
۳۱	۲-۳-۲- فرآیند آماده‌سازی پودر آلیاژی
۳۱	۲-۳-۲- پودر آلیاژی بدون ژرمانیوم
۳۱	۲-۳-۲- پودر آلیاژی حاوی ژرمانیوم
۳۲	۳-۳-۲- فرآیند شکل دهی نمونه‌ها
۳۲	۳-۳-۲- زینترینگ نمونه‌ها
۳۴	فصل سوم : نتایج آزمایشات
۳۴	۱-۳- اندازه‌گیری دانسیته
۳۴	۱-۳- نمونه‌های بدون ژرمانیوم
۳۵	۱-۳- نمونه‌های حاوی ژرمانیوم
۳۵	۲-۲-۳- آنالیز دیفراکسیون اشعه ایکس (XRD)
۳۵	۲-۲-۳- نمونه‌های بدون ژرمانیوم
۳۸	۲-۲-۳- نمونه‌های حاوی ژرمانیوم
۴۲	۴-۳- تصاویر میکروسکوپ الکترونی روبشی (SEM)
۴۳	۴-۳- نمونه‌های بدون ژرمانیوم
۴۹	۴-۳- بررسی ریزساختار سطح شکست نمونه‌های حاوی ژرمانیوم
۵۱	۵-۳- تصویربرداری توسط دستگاه میکروسکوپ نوری
۵۱	۵-۳- نمونه‌های بدون ژرمانیوم
۵۲	۵-۳- نمونه‌های حاوی ژرمانیوم
۵۳	۶-۳- اندازه‌گیری میکروسختی
۵۳	۶-۳- نمونه‌های بدون ژرمانیوم
۵۳	۶-۳- نمونه‌های حاوی ژرمانیوم
۵۴	۷-۳- اندازه‌گیری خواص مغناطیسی
۵۴	۷-۳- نمونه‌های بدون ژرمانیوم
۵۴	۷-۳- نمونه‌های حاوی ژرمانیوم
۵۶	فصل چهارم : بحث
۵۶	۱-۴- تأثیر دمای زینترینگ بر دانسیته

۰۶	۴-۱-۱-نمونه‌های بدون ژرمانیوم
۰۹	۴-۱-۲-نمونه‌های حاوی ژرمانیوم
۷۳	۴-۲-۱-تأثیر دمای زیسترینگ بر خواص مغناطیسی
۷۴	۴-۲-۲-نمونه‌های بدون ژرمانیوم
۷۴	۴-۲-۳-نمونه‌های حاوی ژرمانیوم
۷۶	فصل پنجم: نتیجه‌گیری نهایی
۷۷	فصل ششم: پیشنهادات
۷۸	مراجع

## فهرست جداول و شکل‌ها

صفحه	
۹	تصویر ۱-۱- طرح شماتیکی ساختار کریستالی $Fe_{14}R_2B$
۱۰	تصویر ۱-۲- میدان آنیزوتropی ترکیبات مختلف $Fe_{14}R_2B$ بر حسب دما
۱۱	تصویر ۱-۳- مقدار آهنربایش اشباع ترکیبات مختلف کمیاب خاکی-فلز انتقالی -بور
۱۲	تصویر ۱-۴- دمای کوری ترکیبات کمیاب خاکی-فلز انتقالی -بور
۱۳	تصویر ۱-۵- تصویر لیکویدوس در سیستم Nd-Fe-B
۱۴	تصویر ۱-۶- مقطع ایزوترمال در سیستم Nd-Fe-B در $C_{1000}$
۱۵	تصویر ۱-۷- مقطع عمودی دیاگرام فازی Nd-Fe-B در $Nd:B=2:1$
۱۶	تصویر ۱-۸- ریز ساختار آهنربای (a : Nd-Fe-B) (تجربی b) ایدهآل
۱۷	تصویر ۱-۹- تایعیت دمایی $H_c$ برای ترکیبات مختلف آهنربای
۱۸	تصویر ۱-۱۰- وابستگی $H_c$ به مقدار افزودنی Ga یا Al
۱۹	تصویر ۱-۱۱- حلایت Ga یا Al در $\emptyset$ به عنوان تابعی از مقدار افزودنی Ga یا Al در آلیاژ
۲۰	تصویر ۱-۱۲- تأثیر افزودنی ژرمانیوم بر دانسیته سیترینگ
۲۱	تصویر ۱-۱۳- سخواص مغناطیسی و دانسیته آهنربای $Nd_{15}Fe_{77}B_8$ نسبت به دمای زیترینگ
۲۲	تصویر ۱-۱۴- طیف حاصل از آنالیز شیمیایی به روش AEDX از پودر آلیاژی
۲۳	جدول ۱-۱- درصد عناصر پودر آلیاژی حاصل از آنالیز شیمیایی به روش EDXA
۲۴	جدول ۱-۲- درصد وزنی عناصر موجود در پودر آلیاژی و روش تعیین آنها
۲۵	جدول ۱-۳- درصد اتمی عناصر موجود در پودر آلیاژی
۲۶	شکل ۱-۱- الگوی دیفراکسیون اشعه X پودر آلیاژی مصرفی
۲۷	شکل ۱-۲- تصویر SEI پودر Nd-Fe-B
۲۸	تصویر ۱-۴- طیف حاصل از آنالیز حرارتی پودر Nd-Fe-B
۲۹	تصویر ۱-۵- عکس دستگاه محفظه خلا Gloove Box
۳۰	جدول ۱-۴- نحوه نامگذاری نمونه‌های مختلف
۳۱	تصویر ۱-۱- تأثیر دمای زیترینگ بر درصد دانسیته تئوریک به تجربی نمونه‌های بدون ژرمانیوم
۳۲	تصویر ۱-۲- تأثیر دمای زیترینگ بر درصد دانسیته تئوریک به تجربی نمونه‌های حاوی ژرمانیوم
۳۳	تصویر ۱-۳- الگوی XRD نمونه Mag1000
۳۴	تصویر ۱-۴- الگوی XRD نمونه Mag1050
۳۵	تصویر ۱-۵- الگوی XRD نمونه Mag1100

خ

۳۷	تصویر ۳-الگوی XRD نمونه Mag1150
۳۸	تصویر ۳-۷-الگوی دیفراکسیون اشعه X نمونه های زیتری بدون ژرمانیوم و پودر B-Nd-Fe
۳۹	تصویر ۳-۸-الگوی دیفراکسیون اشعه X نمونه (ic1000)
۴۰	تصویر ۳-۹-الگوی دیفراکسیون اشعه X نمونه (ic1050)
۴۱	تصویر ۳-۱۰-الگوی دیفراکسیون اشعه X نمونه Gc1100
۴۲	تصویر ۳-۱۱-الگوی دیفراکسیون اشعه X نمونه Gc1150
۴۳	تصویر ۳-۱۲-الگوی دیفراکسیون اشعه X نمونه های زیتری حاوی ژرمانیوم و پودر Nd-Fe-B
۴۴	جدول ۳-۱- مقادیر ثوابت شبکه فاز تراگونال $Nd_2Fe_{14}B$
۴۵	تصویر ۳-۱۳- تصویر SEI نمونه Mag1000
۴۶	تصویر ۳-۱۴- تصویر SEI نمونه Mag1050
۴۷	تصویر ۳-۱۵- تصویر BS نمونه Mag1100
۴۸	تصویر ۳-۱۶- تصویر BS نمونه Mag1150
۴۹	تصویر ۳-۱۷-الگوی X-Ray Map نمونه Mag1000
۵۰	تصویر ۳-۱۸-الگوی X-Ray Map نمونه Mag1150
۵۱	تصویر ۳-۱۹- تصویر الکترونهای ثانویه از سطح شکست نمونه Mag1000
۵۲	تصویر ۳-۲۰- تصویر الکترونهای ثانویه از سطح شکست نمونه Mag1050
۵۳	تصویر ۳-۲۱- تصویر الکترونهای ثانویه از سطح شکست نمونه Mag1100
۵۴	تصویر ۳-۲۲- تصویر الکترونهای ثانویه از سطح شکست نمونه Mag1150
۵۵	تصویر ۳-۲۳- تصویر الکترونهای ثانویه از سطح شکست نمونه Ge1000
۵۶	تصویر ۳-۲۴- تصویر الکترونهای ثانویه از سطح شکست نمونه Ge1050
۵۷	تصویر ۳-۲۵- تصویر الکترونهای ثانویه از سطح شکست نمونه Ge1100
۵۸	تصویر ۳-۲۶- تصویر الکترونهای ثانویه از سطح شکست نمونه Ge1150
۵۹	تصویر ۳-۲۷-الگوی X-Ray Map نمونه (ic1150)
۶۰	تصویر ۳-۲۸- عکس نوری نمونه Mag1150
۶۱	تصویر ۳-۲۹- عکس نوری نمونه (ic1150)
۶۲	جدول ۳-۲- میکروسختی نمونه Mag1150
۶۳	جدول ۳-۳- میکروسختی نمونه (ic1150)
۶۴	جدول ۳-۴- خواص مغناطیسی نمونه های Mag1100 و Mag1150

۵۴	جدول ۳-۵-نمای خواص مغناطیسی نمونه های (Ge1100) و (Ge1150)
۵۸	تصویر ۴ - ۱- آنالیز EDXA از فاز خاکستری رنگ نمونه بدون ژرمانیوم
۵۸	تصویر ۴ - ۲- آنالیز EDXA از فاز سفید رنگ نمونه بدون ژرمانیوم
۵۹	تصویر ۴ - ۳- آنالیز EDXA از فاز تیره رنگ نمونه بدون ژرمانیوم
۶۱	تصویر ۴ - ۴- آنالیز EDXA فاز مرزدانه ای نمونه Ge1150
۶۲	تصویر ۴ - ۵ - دیاگرام دوتایی Nd-Ge

## مقدمه:

کاربرد آهنرباهای دائمی در زمینه‌های مختلفی از قبیل وسایل الکترومکانیکی (موتورها، ژنراتورها و اکچویتورها)، ترانسفورماتورهای اکوستیک (بلندگوها، هدفونها و میکروفونها)، اتومبیل (بالابرپیشه و آنتن، تنظیم‌کننده هوا، موتور پمپ سوخت)، مصارف پیشکی (جدا کننده‌های سلول سرطانی، قلب مصنوعی) وغیره آنها را همواره مورد توجه محققان و تولید کنندگان قرار داده است [۲].

مواد مغناطیسی به دو دسته مواد سخت و نرم مغناطیس تقسیم می‌شوند که اختلاف آنها در پهنهای منحنی هیسترزیس و مقدار نیروی پسماندزدای (*Coercive field*)  $H_C$  آنها بوده بطوریکه مواد سخت مغناطیس یا آهنرباهای دائمی دارای منحنی هیسترزیس پهن‌تری نسبت به مواد نرم مغناطیس می‌باشند. آهنرباهای  $Nd-Fe-B$  جزء دسته مواد سخت مغناطیس یا آهنرباهای دائمی می‌باشند. معروف‌ترین آهنرباهای دائم به چهار گروه مهم ذیل تقسیم‌بندی می‌شوند [۱]:

- هگزا فریت‌ها شامل هگزا فریت باریم و هگزا فریت استرانسیم که در دهه ۱۹۵۰ معرفی شدند.  
- آلیکوکوها که خاصیت مغناطیسی شان بر اساس رسوب ذرات فرومغناطیس  $FeCo$  می‌باشد و در دهه ۱۹۶۰ ساخته شدند.

- آلیازهای کمیاب خاکی - کجالت بر پایه  $Sm-Co$  در سیستم‌های  $SmCo_5$  و  $Sm_2Co_17$  که در دهه ۱۹۷۰ مورد توجه قرار گرفتند.

- آلیازهای کمیاب خاکی - آهن - بور (Nd-Fe-B) بر پایه  $Nd_2Fe_{14}B$  که در دهه ۱۹۸۰ معرفی گردیدند. در سال ۱۹۸۳ کمپانی Sumitomo Special Metals [۳] آهنرباهای دائمی کمیاب خاکی آهن را بر پایه فاز  $Nd_2Fe_{14}B$  معرفی کرد و بطور همزمان در سال ۱۹۸۴ در ژاپن و آمریکا به ترتیب توسط Croat و Sagawa جزئیات بیشتری ذر مورد برآیند ساخت و خواص آنها بیان گردید [۲ و ۴]. آهنرباهای  $Nd-Fe-B$  بخاطر داشتن خواص مغناطیسی عالی به سرعت پیشرفت کرده و سهم زیادی از بازار جهانی آهنرباهای دائمی را به خود اختصاص دادند. این آهنرباهای از پیشرفته‌ترین و قوی‌ترین آهنرباهای موجود در جهان می‌باشند که با داشتن نیروی پسماندزدای ذاتی (HC) بالا، اندوکسیون پسماند (Br) بالا و بالاترین انرژی ماکزیمم مغناطیسی  $(BH)_{max}$  به سرعت جایگزین آهنرباهای دائمی دیگر شدند. ساختار کریستالی فاز اصلی این آهنربا  $Nd_2Fe_{14}B$  دارای تقارن تتراگونال با گروه فضایی  $P42/mnm$  و دارای انرژی آنیزوتروپی مغناطیکریستالی تک محوره *Uniaxial Magnetocrystallin Anisotropy* بزرگی می‌باشد. در این ساختار ۶ موقعیت مختلف برای اتمهای آهن، دو موقعیت مجذرا برای اتمهای نبودیم و یک موقعیت برای اتم  $B$  وجود دارد [۴].

در عمل ریزساختار آهنرباهای  $Nd-Fe-B$  مشکل از فازهای زیر می‌باشد [۵]:

- ترکیب بین فلزی سخت مغناطیس  $Nd_2Fe_{14}B$  مشهور به فاز  $\Phi$ .
  - فاز غنی از  $Nd$  که در دمای اتاق غیر مغناطیس بوده و در دماهای بالاتر از  $C\ 655$  مایع می‌باشد. این فاز عمل چگالش توسط زیترنیگ در حضور فاز مایع را بر عهده دارد و همچنین مسئول عدم کوپلائز مغناطیسی بین دانه‌ها می‌باشد.
  - فاز غنی از  $B_4$  غنی از  $Nd_{1.1}Fe_4B_4$  که در دماهای بالاتر از  $K\ 13$  غیر مغناطیس بوده و به عنوان آخال غیر مغناطیسی *Nonmagnetis Inclusion* عمل می‌کند.
  - فازهای نرم مغناطیس  $Nd_2Fe_{17}$  و  $Fe_2B, \alpha-Fe$
- گزارش شده است [۵] که ریزساختار آهنرباهای زینتر شده از نوع  $Nd-Fe-B$  سه فاز  $Nd_{1.1}Fe_4B_4, Nd_2Fe_{14}B$  و فاز غنی از  $Nd$  را شامل می‌شود.
- آلیاژهای  $Nd-Fe-B$  با توجه به مقدار  $Nd$  موجود در ترکیب، به سه دسته زیر تقسیم‌بندی می‌شوند [۶ و ۷]:
- ترکیبات با نثودیم کم ( $8-10\ at\%Nd$ ).
  - ترکیبات نزدیک به ترکیب استوکیومتری ( $11-13\ at\%Nd$ )  $Nd_2Fe_{14}B$ .
  - ترکیبات با نثودیم بالا ( $16-20\ at\%Nd$ ) و یا  $Nd$ .

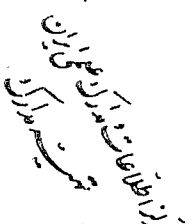
در ساخت آهنرباهای دائمی  $Nd-Fe-B$  همواره سعی بر این است که ریزساختار آنها شامل بیشترین مقدار فاز اصلی  $Nd_2Fe_{14}B$  و کمترین مقدار فازهای ثانویه باشد تا بهترین خواص مغناطیسی را از خود نشان دهد [۷ و ۸].

دو ضعف عمده آهنرباهای  $Nd-Fe-B$  در پائین بودن دمای کوری آنها ( $T_c=312\ K$ ) و مقاومت به خوردگی ضعیف در این نوع آهنرباهای می‌باشد که با جایگزینی جزئی عناصر آلیاژساز با  $Fe$  و  $Nd$  در ترکیب آلیاژی آنها می‌توان این معایب را کاهش داد. همچنین جهت بهبود مقاومت به خوردگی این آهنرباهای پوشش‌های فلزی و غیر فلزی استفاده می‌گردد [۸].

- عمدتاً به دلیل زیر عناصر بسیاری به آهنرباهای  $Nd-Fe-B$  اضافه می‌گردد [۳, ۹]:
- بهبود خواص سخت مغناطیسی
  - بهبود مقاومت به خوردگی
  - افزایش  $T_c$

این افزودنی‌ها به سه دسته ذیل تقسیم‌بندی می‌شوند [۳, ۹]:

- فلزات ذوب پائین نظری  $Cu, Ge$  می‌باشند.
- فلزات دیرگذار نظری  $W, Nb$



- عناصری مانند  $Dy$  و  $Co$  که جایگزین  $Nd$  در فاز  $Nd,Fe,B$  شده و سبب بهبود پارامترهای ذاتی آهنرباهای  $Nd-Fe-B$  می‌شوند.

در ساخت آهنرباهای  $Nd-Fe-B$  عمدتاً از دو روش متالورژی پودر متداول و انجاماد سریع (Melt Spin) استفاده می‌گردد. به آهنرباهای تهیه شده از روش متالورژی پودر نوعاً آهنرباهای زینتری می‌گویند. کمپانی ژنرال موتورز آهنرباهای تهیه شده از روش Melt Spin را مگنوکوئچ ( $MQ$ ) نامیده است که به سه نوع با اتصال پلیمری ( $MQI$ )، پرس گرم شده ( $MQ II$ ) و ( $MQ III$ ) Die-Upset تقسیم می‌شوند [1].

آهنرباهای  $Nd-Fe-B$  از قوی‌ترین آهنرباهای دائمی بوده و موضوع تحقیقات به روز جهان می‌باشد و لی متأسفانه فعالیت‌های تحقیقاتی چندانی در مورد این نوع آهنرباهای در ایران صورت نگرفته است.

با توجه به جستجوهای انجام شده ملاحظه گردید که تأثیر افزودنی  $Ge$  بر خواص آهنرباهای  $Nd-Fe-B$  مورد مطالعه زیادی قرار نگرفته است و فقط اطلاعات مختصری در مورد تأثیر افزودنی  $Ge$  بر خواص آهنرباهای  $Nd-Fe-B$  با اتصال پلیمری منتشر شده است. لذا تصمیم بر آن شد که علاوه بر بررسی تأثیر دمای زیستر بر خواص مغناطیسی آهنربای  $Nd-Fe-B$  زینتری، در حد امکان تأثیر افزودنی  $Ge$  بر ریزساختار و خواص مغناطیسی آن نیز مورد مطالعه قرار گیرد.

## فصل اول: مروری بر منابع مطالعاتی

### ۱-۱- رفتار فرومغناطیسی مواد [۱۰]:

رفتار فرمغناطیسی در فلزات گروه انتقالی نظری آهن-کبالت و نیکل ناشی از وجود الکترون‌های منفرد در سطوح انرژی  $3d$  است. رفتار مغناطیسی در فلزات کمیاب خاکی نظری  $Sm$  و  $Eu$  و  $Gd$  ناشی از اوربیتالهای الکترون نیمه پر  $4f$  و  $5d$  می‌باشد. در  $Fe$  و  $Co$  و  $Ni$  با تأثیر متقابل اوربیتالهای اتمهای مجاور، اسپینهای الکترون‌های خارجی پرنشده  $3d$  در امتداد موازی با یکدیگر جهت‌گیری می‌کنند که این جهت‌گیری اسپینهای اوربیتالهای با الکترون منفرد با آرایش خاص فقط در دماهای معینی پایدار است. در دماهای بالا به دلیل ارتعاشات حرارتی و برهم‌خوردگی نظم و جهت‌گیری اسپینها، خاصیت مغناطیسی محو می‌شود. درجه حرارتی که در آن رفتار فرمغناطیسی کاملاً ناپذید می‌شود، دمای کوری ( $T_c$ ) نامیده می‌شود.

در پائیتر از دمای کوری، جهت‌گیری دوقطبیهای مغناطیسی مواد فرمغناطیس، در مناطق خاص و منظمی به نام حوزه‌های مغناطیسی اتفاق می‌افتد. اگر حوزه‌های مغناطیسی به صورت اتفاقی و نامنظم جهت‌گیری یافته باشند، در این صورت رفتار مغناطیسی در کل نمونه وجود نخواهد داشت. در دماهای بالاتر از دمای کوری ماده پارامغناطیس است.

### ۱-۱-۱- ساختار حوزه مغناطیسی مواد [۱۰]:

حوزه‌های مغناطیسی، مناطقی از ماده هستند که در آنها تمام دوقطبیها در یک ردیف قرار گرفته‌اند. در ماده‌ای که قبلًا در معرض میدان مغناطیسی قرار نگرفته است، تک تک حوزه‌ها جهتی نامعین و اتفاقی دارند. بنابراین چنین ماده‌ای در کل، خاصیت مغناطیسی نخواهد داشت. مرزهایی به نام دیوارهای بلوچ (Bloch Wall)، تک تک این حوزه‌های مغناطیسی را از یکدیگر جدا می‌کند. دیوارهای بلوچ یا مرزین حوزه‌ها، مناطق بسیار باریکی هستند که جهت گستاور مغناطیسی در آنها به تدریج به طور پیوسته از حوزه‌ای به حوزه دیگر تغییر می‌کند.

### ۱-۱-۲- حرکت حوزه‌ها در اثر میدان مغناطیسی [۱۰]:

هنگامی که ماده‌ای تحت تأثیر میدان مغناطیسی خارجی قرار گیرد، با ازدیاد میدان، از حجم حوزه‌های ردیف نشده کاسته شده و به حجم حوزه‌های تقریباً ردیف شده افزوده می‌شود. به منظور رشد حوزه‌ها باید مرزهای بین حوزه‌ها حرکت کنند که نیروی لازم برای این حرکت را از میدان مغناطیسی